

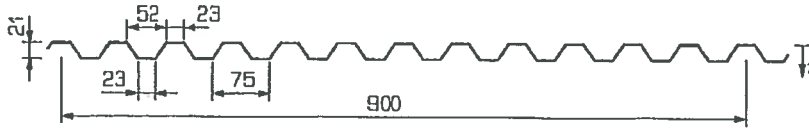
Stahl- Trapezprofil

TP 20-75

Querschnitts- und Bemessungswerte nach DIN EN 1993-1-3

Profiltafel in Positiv- oder Negativlage

Maße in mm, Radien R= 4 mm



Anlage 2.2 zum Prüfbescheid
ALS TYPENENTWURF
 in baustatischer Hinsicht geprüft.
 Prüfbescheid Nr. T14-160
 Landesdirektion Sachsen
 Landesstelle für Bautechnik
 Leipzig, den 15.10.2014
 Leiter: Bearbeiter:



Nennstreckgrenze des Stahlkernes $f_{yk} = 320 \text{ N/mm}^2$

Charakteristische Tragfähigkeitswerte für andrückende Flächenbelastung ³⁾

Nennblechdicke	Feldmoment	Endauflagerkraft ⁶⁾		Querkraft	Elastisch aufnehmbare Schnittgrößen an Zwischenauflagern ^{1) 2) 4) 5) 7)}											
					Lineare Interaktion						Zwischenauflegerkräfte					
					Stützmomente			Zwischenauflegerkräfte			Stützmomente			Zwischenauflegerkräfte		
					$l_{a,B} = 10 \text{ mm}$	$l_{a,B} = 60 \text{ mm}$	$l_{a,B} = 120 \text{ mm}$	$l_{a,B} = 10 \text{ mm}$	$l_{a,B} = 60 \text{ mm}$	$l_{a,B} = 120 \text{ mm}$	$l_{a,B} = 10 \text{ mm}$	$l_{a,B} = 60 \text{ mm}$	$l_{a,B} = 120 \text{ mm}$	$l_{a,B} = 10 \text{ mm}$	$l_{a,B} = 60 \text{ mm}$	$l_{a,B} = 120 \text{ mm}$
t_N	$M_{c,Rk,F}$	$R_{w,Rk,A}$	$V_{w,Rk}$	$M_{Rk,B}^0$	$M_{c,Rk,B}$	$M_{Rk,B}^0$	$M_{c,Rk,B}$	$M_{Rk,B}^0$	$M_{c,Rk,B}$	$R_{Rk,B}^0$	$R_{w,Rk,B}$	$R_{Rk,B}^0$	$R_{w,Rk,B}$	$R_{Rk,B}^0$	$R_{w,Rk,B}$	
mm	kNm/m	kN/m	kN/m	kNm/m						kN/m						
0,50	1,089	7,88	12,36	n.m.	1,362	1,089	1,362	1,089	1,362	1,089	19,70	15,76	35,94	28,75	47,31	37,85
0,63	1,534	12,69	19,52	n.m.	1,917	1,534	1,917	1,534	1,917	1,534	31,73	25,39	56,48	45,18	73,80	59,04

Reststützmomente ⁸⁾

t_N	$l_{a,B} = 10 \text{ mm}$			$l_{a,B} = 60 \text{ mm}$			$l_{a,B} = 120 \text{ mm}$			Reststützmomente $M_{R,Rk}$
	min L	max L	max $M_{R,Rk}$	min L	max L	max $M_{R,Rk}$	min L	max L	max $M_{R,Rk}$	
mm	m	m	kNm/m	m	m	kNm/m	m	m	kNm/m	
										$M_{R,Rk} = 0$ für $L \leq \min L$ $M_{R,Rk} = \frac{L - \min L}{\max L - \min L} \cdot \max M_{R,Rk}$ $M_{R,Rk} = \max M_{R,k}$ für $L \geq \max L$

Charakteristische Tragfähigkeitswerte für abhebende Flächenbelastung ^{1) 2)}

Nennblechdicke	Feldmoment	Verbindung in jedem abliegenden Gurt mit Kalotte ^{9) 10)}							Verbindung in jedem anliegenden Gurt ⁹⁾					
		Endauflagerkraft	Lineare Interaktion					Endauflagerkraft	M/V- Interaktion					
			$M_{Rk,B}^0$	$M_{c,Rk,B}$	$R_{Rk,B}^0$	$R_{w,Rk,B}$	$V_{w,Rk}$		$M_{Rk,B}^0$	$M_{c,Rk,B}$	$R_{Rk,B}^0$	$R_{w,Rk,B}$	$V_{w,Rk}$	
t_N	$M_{c,Rk,F}$	$R_{w,Rk,A}$	$M_{Rk,B}^0$	$M_{c,Rk,B}$	$R_{Rk,B}^0$	$R_{w,Rk,B}$	$V_{w,Rk}$	$R_{w,Rk,A}$	$M_{Rk,B}^0$	$M_{c,Rk,B}$	$R_{Rk,B}^0$	$R_{w,Rk,B}$	$V_{w,Rk}$	
mm	kNm/m	kN/m	kNm/m	kNm/m	kN/m	kN/m	kN/m	kN/m	kNm/m	kNm/m	kN/m	kN/m	kN/m	
0,50	1,089	12,36	1,362	1,089	30,91	24,72	-	46,86	-	1,089	-	-	46,86	
0,63	1,534	19,52	1,917	1,534	48,80	39,04	-	60,08	-	1,534	-	-	60,08	

Fußnoten siehe Beiblatt 1/2